

Starkniederschlagshöhen und -spenden gemäß KOSTRA-DWD-2020

Rasterfeld 141142

(Zeile 141, Spalte 142)

Regenspende und Bemessungsniederschlagswerte in Abhängigkeit von Wiederkehrzeit T und Dauerstufe D

| Dauerstufe D | | Wiederkehrzeit T | | | | | | | | | | | | | | | | | |
|--------------|-----|------------------|------------|------|------------|------|------------|------|------------|------|------------|-------|------------|-------|------------|-------|------------|-------|------------|
| | | 1 a | | 2 a | | 3 a | | 5 a | | 10 a | | 20 a | | 30 a | | 50 a | | 100 a | |
| min | Std | mm | l / (s ha) | mm | l / (s ha) | mm | l / (s ha) | mm | l / (s ha) | mm | l / (s ha) | mm | l / (s ha) | mm | l / (s ha) | mm | l / (s ha) | mm | l / (s ha) |
| 5 | | 6,2 | 206,7 | 7,8 | 260,0 | 8,8 | 293,3 | 10,0 | 333,3 | 11,9 | 396,7 | 13,8 | 460,0 | 15,0 | 500,0 | 16,7 | 556,7 | 19,0 | 633,3 |
| 10 | | 8,5 | 141,7 | 10,6 | 176,7 | 12,0 | 200,0 | 13,7 | 228,3 | 16,2 | 270,0 | 18,8 | 313,3 | 20,5 | 341,7 | 22,8 | 380,0 | 26,0 | 433,3 |
| 15 | | 9,9 | 110,0 | 12,4 | 137,8 | 13,9 | 154,4 | 16,0 | 177,8 | 18,9 | 210,0 | 21,9 | 243,3 | 23,9 | 265,6 | 26,5 | 294,4 | 30,2 | 335,6 |
| 20 | | 10,9 | 90,8 | 13,7 | 114,2 | 15,4 | 128,3 | 17,6 | 146,7 | 20,8 | 173,3 | 24,2 | 201,7 | 26,3 | 219,2 | 29,2 | 243,3 | 33,3 | 277,5 |
| 30 | | 12,3 | 68,3 | 15,5 | 86,1 | 17,4 | 96,7 | 19,9 | 110,6 | 23,6 | 131,1 | 27,4 | 152,2 | 29,9 | 166,1 | 33,1 | 183,9 | 37,7 | 209,4 |
| 45 | | 13,9 | 51,5 | 17,4 | 64,4 | 19,5 | 72,2 | 22,4 | 83,0 | 26,5 | 98,1 | 30,7 | 113,7 | 33,5 | 124,1 | 37,1 | 137,4 | 42,3 | 156,7 |
| 60 | 1 | 15,0 | 41,7 | 18,8 | 52,2 | 21,1 | 58,6 | 24,2 | 67,2 | 28,6 | 79,4 | 33,2 | 92,2 | 36,2 | 100,6 | 40,1 | 111,4 | 45,7 | 126,9 |
| 90 | 1,5 | 16,6 | 30,7 | 20,8 | 38,5 | 23,4 | 43,3 | 26,8 | 49,6 | 31,8 | 58,9 | 36,8 | 68,1 | 40,2 | 74,4 | 44,5 | 82,4 | 50,8 | 94,1 |
| 120 | 2 | 17,8 | 24,7 | 22,4 | 31,1 | 25,2 | 35,0 | 28,8 | 40,0 | 34,1 | 47,4 | 39,6 | 55,0 | 43,2 | 60,0 | 47,8 | 66,4 | 54,5 | 75,7 |
| 180 | 3 | 19,7 | 18,2 | 24,7 | 22,9 | 27,8 | 25,7 | 31,8 | 29,4 | 37,7 | 34,9 | 43,7 | 40,5 | 47,6 | 44,1 | 52,8 | 48,9 | 60,2 | 55,7 |
| 240 | 4 | 21,1 | 14,7 | 26,4 | 18,3 | 29,7 | 20,6 | 34,1 | 23,7 | 40,3 | 28,0 | 46,8 | 32,5 | 51,0 | 35,4 | 56,5 | 39,2 | 64,5 | 44,8 |
| 360 | 6 | 23,2 | 10,7 | 29,1 | 13,5 | 32,7 | 15,1 | 37,5 | 17,4 | 44,4 | 20,6 | 51,5 | 23,8 | 56,1 | 26,0 | 62,2 | 28,8 | 70,9 | 32,8 |
| 540 | 9 | 25,5 | 7,9 | 32,0 | 9,9 | 36,0 | 11,1 | 41,2 | 12,7 | 48,8 | 15,1 | 56,6 | 17,5 | 61,7 | 19,0 | 68,4 | 21,1 | 78,0 | 24,1 |
| 720 | 12 | 27,3 | 6,3 | 34,2 | 7,9 | 38,4 | 8,9 | 44,1 | 10,2 | 52,1 | 12,1 | 60,5 | 14,0 | 65,9 | 15,3 | 73,1 | 16,9 | 83,3 | 19,3 |
| 1080 | 18 | 29,9 | 4,6 | 37,5 | 5,8 | 42,2 | 6,5 | 48,4 | 7,5 | 57,3 | 8,8 | 66,4 | 10,2 | 72,4 | 11,2 | 80,3 | 12,4 | 91,5 | 14,1 |
| 1440 | 24 | 32,0 | 3,7 | 40,1 | 4,6 | 45,1 | 5,2 | 51,7 | 6,0 | 61,2 | 7,1 | 71,0 | 8,2 | 77,4 | 9,0 | 85,8 | 9,9 | 97,8 | 11,3 |
| 2880 | 48 | 37,5 | 2,2 | 47,0 | 2,7 | 52,9 | 3,1 | 60,6 | 3,5 | 71,7 | 4,1 | 83,2 | 4,8 | 90,7 | 5,2 | 100,5 | 5,8 | 114,6 | 6,6 |
| 4320 | 72 | 41,2 | 1,6 | 51,6 | 2,0 | 58,0 | 2,2 | 66,5 | 2,6 | 78,7 | 3,0 | 91,3 | 3,5 | 99,5 | 3,8 | 110,3 | 4,3 | 125,8 | 4,9 |
| 5760 | 96 | 44,0 | 1,3 | 55,1 | 1,6 | 62,0 | 1,8 | 71,0 | 2,1 | 84,0 | 2,4 | 97,5 | 2,8 | 106,3 | 3,1 | 117,8 | 3,4 | 134,3 | 3,9 |
| 7200 | 120 | 46,3 | 1,1 | 58,0 | 1,3 | 65,2 | 1,5 | 74,7 | 1,7 | 88,4 | 2,0 | 102,6 | 2,4 | 111,9 | 2,6 | 124,0 | 2,9 | 141,4 | 3,3 |
| 8640 | 144 | 48,2 | 0,9 | 60,4 | 1,2 | 68,0 | 1,3 | 77,9 | 1,5 | 92,2 | 1,8 | 107,0 | 2,1 | 116,6 | 2,2 | 129,3 | 2,5 | 147,4 | 2,8 |
| 10080 | 168 | 50,0 | 0,8 | 62,6 | 1,0 | 70,4 | 1,2 | 80,7 | 1,3 | 95,5 | 1,6 | 110,8 | 1,8 | 120,8 | 2,0 | 133,9 | 2,2 | 152,7 | 2,5 |

Starkniederschlagshöhen und -spenden gemäß KOSTRA-DWD-2020

Rasterfeld 141142

(Zeile 141, Spalte 142)

Örtliche Unsicherheiten in Abhängigkeit von Wiederkehrzeit T und Dauerstufe D

| Dauerstufe D | | Wiederkehrzeit T | | | | | | | | |
|--------------|-----|------------------|-----|-----|-----|------|------|------|------|-------|
| | | 1 a | 2 a | 3 a | 5 a | 10 a | 20 a | 30 a | 50 a | 100 a |
| min | Std | ± % | ± % | ± % | ± % | ± % | ± % | ± % | ± % | ± % |
| 5 | | 12 | 12 | 12 | 12 | 12 | 13 | 13 | 13 | 14 |
| 10 | | 11 | 12 | 13 | 14 | 15 | 16 | 16 | 17 | 17 |
| 15 | | 12 | 14 | 15 | 16 | 18 | 18 | 19 | 19 | 20 |
| 20 | | 14 | 16 | 17 | 18 | 19 | 20 | 21 | 21 | 22 |
| 30 | | 15 | 17 | 18 | 20 | 21 | 22 | 22 | 23 | 23 |
| 45 | | 16 | 18 | 19 | 20 | 22 | 22 | 23 | 24 | 24 |
| 60 | 1 | 16 | 18 | 19 | 21 | 22 | 23 | 23 | 24 | 24 |
| 90 | 1,5 | 16 | 18 | 19 | 20 | 22 | 23 | 23 | 24 | 24 |
| 120 | 2 | 15 | 18 | 19 | 20 | 21 | 22 | 23 | 23 | 24 |
| 180 | 3 | 15 | 17 | 18 | 19 | 20 | 21 | 22 | 22 | 23 |
| 240 | 4 | 14 | 16 | 17 | 18 | 20 | 21 | 21 | 22 | 22 |
| 360 | 6 | 13 | 15 | 16 | 18 | 19 | 20 | 20 | 21 | 21 |
| 540 | 9 | 13 | 15 | 16 | 17 | 18 | 19 | 19 | 20 | 20 |
| 720 | 12 | 12 | 14 | 15 | 16 | 17 | 18 | 19 | 19 | 20 |
| 1080 | 18 | 12 | 14 | 14 | 15 | 16 | 17 | 18 | 18 | 19 |
| 1440 | 24 | 12 | 13 | 14 | 15 | 16 | 17 | 17 | 18 | 18 |
| 2880 | 48 | 12 | 13 | 14 | 14 | 15 | 16 | 16 | 17 | 17 |
| 4320 | 72 | 13 | 14 | 14 | 15 | 15 | 16 | 16 | 17 | 17 |
| 5760 | 96 | 14 | 14 | 14 | 15 | 15 | 16 | 16 | 17 | 17 |
| 7200 | 120 | 15 | 15 | 15 | 15 | 16 | 16 | 16 | 17 | 17 |
| 8640 | 144 | 15 | 15 | 15 | 15 | 16 | 16 | 16 | 17 | 17 |
| 10080 | 168 | 16 | 15 | 16 | 16 | 16 | 16 | 17 | 17 | 17 |

Parameter für abweichende T und D

Lokationsparameter ξ (Xi)

15,52358305

Skalenparameter α (Alpha)

5,45822102

Formparameter κ (Kappa)

-0,1

1. Koutsoyiannis-Parameter θ (Theta)

0,04731875

2. Koutsoyiannis-Parameter η (Eta)

0,77170028

Parameter für dauerstufenübergreifende Extremwertschätzung nach KOUTSOYIANNIS et al. 1998.

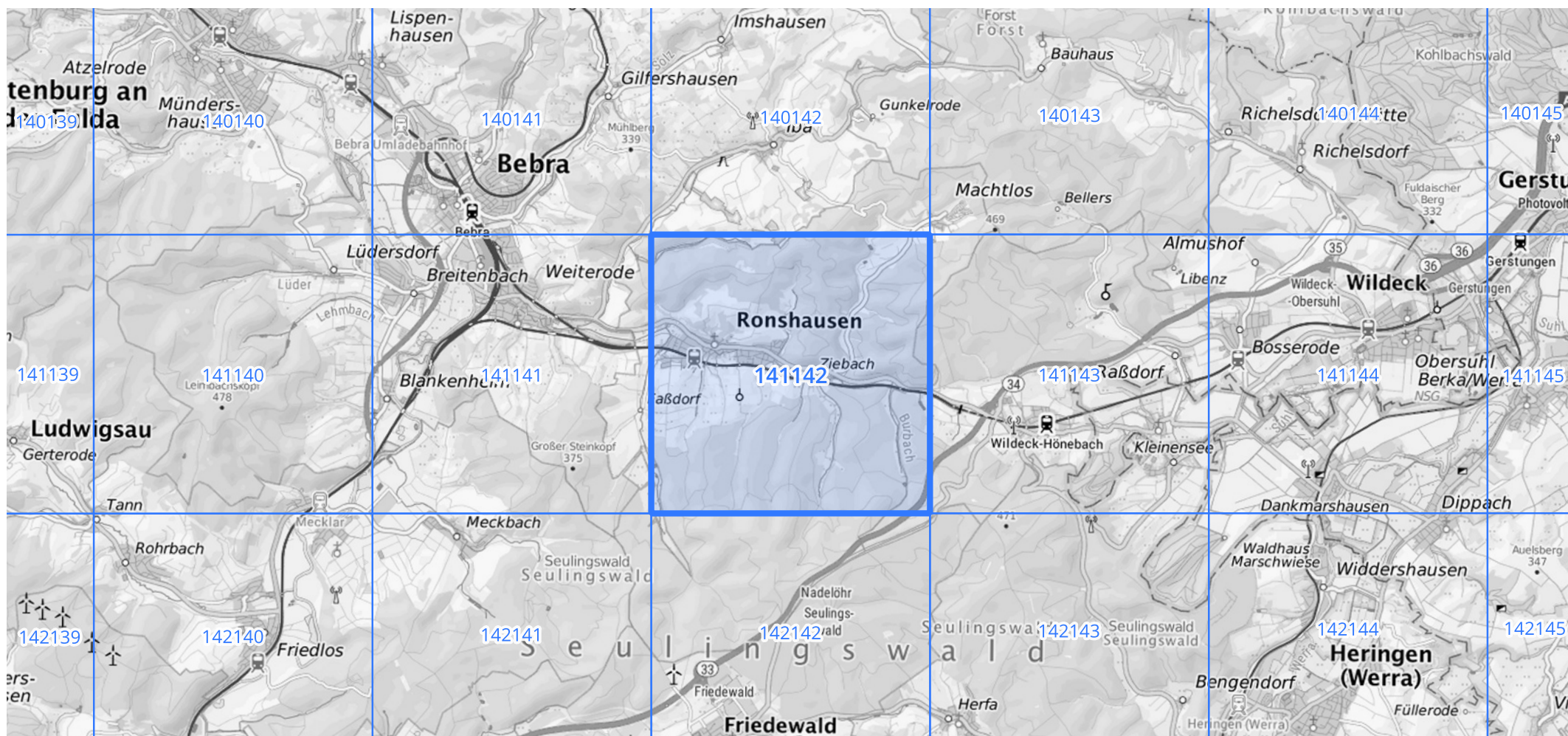
Siehe auch Anwendungshilfe zu KOSTRA-DWD-2020 des Deutschen Wetterdienstes.

Starkniederschlagshöhen und -spenden gemäß KOSTRA-DWD-2020

Rasterfeld 141142

(Zeile 141, Spalte 142)

Übersichtskarte des Rasterfeldes 141142, M 1 : 100 000



Quelle Rasterdaten: KOSTRA-DWD-2020 des Deutschen Wetterdienstes, Stand 12/2022.

Seite 3 von 3

Kartendarstellung: © Bundesamt für Kartographie und Geodäsie (2023), Datenquellen: https://sgx.geodatenzentrum.de/web_public/gdz/datenquellen/Datenquellen_TopPlusOpen.html

Für die Richtigkeit und Aktualität der Angaben wird keine Gewähr übernommen. Erstellt 01/2023.